

陈琳,陈彩珠,胡雅君,等.基于熵权综合评价模型的福建省雷灾风险划分[J].气象研究与应用,2021,42(2):46–52.

Chen Lin, Chen Caizhu, Hu Yajun, et al. Thunder disaster risk division in Fujian Province based on entropy weight comprehensive evaluation model[J]. Journal of Meteorological Research and Application, 2021, 42(2): 46–52.

基于熵权综合评价模型的福建省雷灾风险划分

陈 琳¹, 陈彩珠², 胡雅君³, 杨秀敏⁴, 朱亚飞¹

(1.厦门市气象灾害防御技术中心,福建 厦门 361012; 2.厦门市气象局,福建 厦门 361012;
3.厦门市气象台,福建 厦门 361012; 4.厦门市气象服务中心,福建 厦门 361012)

摘要:利用福建省2012—2017年闪电定位资料和雷灾资料,采用熵权综合评价模型,对福建省68个县市区域雷灾进行评价。结果表明,福建省闪电密度高值区域主要集中在闽中东部,各区域年平均密度值大部分在4次·km⁻²·a⁻¹次以下,少部分地区高达8次·km⁻²·a⁻¹次以上;闪电发生时间集中在6—8月;闪电强度区域分布均衡,强度值大部分在30kA以下。闽中部区域雷灾次数分布总体高于其他区域,闽北最低,沿海较低;雷灾和闪电在夏季时节均为高发期,雷灾次数和闪电密度分布总体具有较好的一致性。闽中南雷灾评价等级总体高于闽北,内陆地区总体高于沿海地区。

关键词:闪电;雷灾;风险区划;熵权综合评价模型

中图分类号:P429

文献标识码:A

doi: 10.19849/j.cnki.CN45-1356/P.2021.2.09

OSID:



引言

闪电已被列入“联合国国际减灾十年”公布的十种最严重的自然灾害之一,被国家电工委员会称为“电子时代的一大公害”^[1-3]。雷电闪击、雷电反击、雷电电磁脉冲、雷电波侵入等各种形式的雷击伤害,给雷电安全防护带来了新的考验,给人身安全和经济社会带来巨大损失^[4-9]。我国作为全世界最大的工业化国家,全社会电子电气设备普及快速发展,随之而来的雷电损失也相应的呈现多样化趋势^[10-13]。因此,研究区域雷灾特征和区域闪电环境,对于区域雷电灾害防御工作具有实际应用价值。

很多学者利用多种方式对雷电灾害风险评价等级开展研究^[14-15]。黄肖寒^[16]、刘晓东^[17]、刘平英^[18]、刘垚^[19]、李彩莲^[20]、朱浩^[21]、程向阳^[22]等分别对河池市、内蒙古、云南、杭州市、陕西等地利用不同评价模型选取不同参数对所在区域进行了雷电灾害风险等级评估,上述研究对区域雷电灾害综合防御具有实际应用价值。但各地区气候、环境、经济、雷灾具体情况

等方面存在明显区别,造成评价结果明显不同。福建省位于我国东南沿海,属亚热带海洋性季风气候,东部沿海,有少量平原,西部和中部地区为山区,受地形及气候影响,福建省雷暴天气多,闪电频发,受雷击侵害事故较多,同时,福建东部沿海和内陆地区经济结构有明显不同,雷灾损失特点也有不同^[23-25]。曾金全等^[24]采引入雷电风险、地域风险和承灾体风险作为评估指标,对福建省进行了区域雷电灾害风险评估。张雷等^[26]基于层次分析法对福建省进行了雷电灾害风险区划。安徽、蒙古、湖南等省市以雷灾数据为评价因子,采用熵权综合评价模型^[11-22],在雷灾评估中取得较好评估结果。该模型在地震、水利、气象等多种自然灾害风险得以充分验证,能有效评价自然灾害风险^[27-29]。

首次以福建省具体雷灾事故、损失类型、损失强度建立熵权综合评价模型,以雷灾基础数据中的雷灾频数、人员伤亡和经济伤亡为指标对福建省68个县市级区域雷灾情况进行评价,对各地市具体行业雷灾受灾原因进行了具体分析,其评价结果和雷

收稿日期:2020-10-30

基金项目:国家自然科学基金(418050028)

作者简介:陈琳(1985—),男,福建厦门人,工程师,主要从事雷电防护和雷电监测预警研究。E-mail:1642376973@qq.com

灾行业分析对福建省雷灾安全防御具有实际的指导意义。

1 资料和方法

1.1 资料来源及处理

雷灾资料来源:中国气象局防雷减灾办公室2012—2017年汇编出版的《全国雷电灾害汇编》。该资料由全国各地气象部门通过中国气象局综合信息网每月上报,资料包括雷灾发生的时间、地点以及人员伤亡、设备设施损坏、经济损失以及行业场所等损失类型资料。灾情漏报在文中不予考虑。

闪电定位资料来源:福建省ADTD闪电定位系统2012—2017年监测数据。该系统在福建省内设有福州、厦门等10个子站,系统可以监测到闪电发生的时间、经纬度、波头陡度、电流强度、正负闪等多项参数。经多年实践运行和监测结果分析,各项监测参数基本准确,具有实际运用价值^[24]。

闪电资料处理:利用软件UEDIT64对闪电原始数据进行预处理,提取闪电发生时间、经纬度、闪电强度资料,并对资料进行标准格式化处理。利用ARCGIS10.2.2软件对标准格式化数据进行福建省闪电数据提取,并对闪电密度和闪电强度作图分析。

综合资料处理:利用MATLAB7.0软件,对熵权综合评价模型中年平均伤亡人数M、年平均雷灾次数N和年平均经济损失E三个评价因子进行权重计算。

1.2 主要研究方法

对福建省区域雷灾灾情评估采用的是熵权综合评价模型^[21]。

设该灾情评价共有n个评价指标,m个评价对象,其计算模型为:

$$G_i = \sum_{j=1}^n w_j \times b_{ij}, i=1, 2, \dots, m \quad (1)$$

其中 G_i 为每个对象的灾情综合评价指数, b_{ij} 为将评价指标归一化后第j个指标的无量纲化值, w_j 为第j个指标的权重值; b_{ij} 和 w_j 的计算方法如下:

将n个评价指标和m个评价对象构造总评价矩阵

$$R = (r_{ij})_{m \times n}, i=1, 2, \dots, m; j=1, 2, \dots, n$$

对矩阵R进行归一化处理,得到无量纲化值 b_{ij} ,

$$b_{ij} = \frac{r_{ij} - r_{\min}}{r_{\max} - r_{\min}}$$

利用熵权值对每个评价指标的权重值 w_j 计算为

$$w_j = \frac{1 + \left(\sum_{i=1}^m f_{ij} \ln f_{ij} \right) / \ln m}{n + \sum_{j=1}^m \left[\left(\sum_{i=1}^m f_{ij} \ln f_{ij} \right) / \ln m \right]} \quad (2)$$

$$\text{其中 } f_{ij} = \frac{1+b_{ij}}{\sum_{i=1}^m (1+b_{ij})}, i=1, 2, \dots, m; j=1, 2, \dots, n$$

2 福建省雷灾分布特征

根据雷灾资料统计,福建省2012—2017年共发生雷灾833起。其中,人员伤亡61人,死亡41人,受伤20人,雷击致死率达67.2%,致死率较高,造成经济损失近4000万元。

2.1 雷灾的时间分布特征

2.1.1 年分布特征

从图1可以看出,福建省年雷灾次数存在明显的快速下降趋势,并以2015年为界限,存在明显的落差。2012—2014年雷灾次数均在150次以上,其中2012年达316次;2015年之后,降至100次以下,在2017年达到最低,只有18次,较2012年最高值316次,降幅达94%。闪电次数则处于波动状态,无明显趋势。

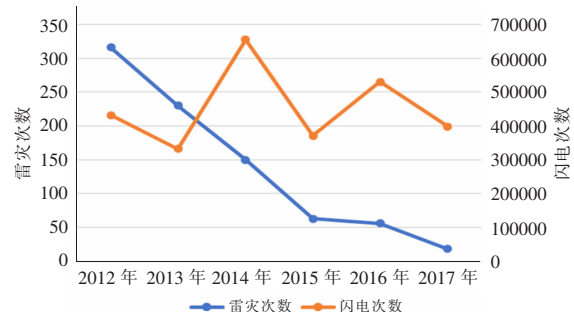


图1 2012—2017年福建省雷灾和闪电次数分布图

2015年以后雷灾次数的减少,一方面是通过多年科普和防雷监管,显著提高了民众和各行各业的防雷安全意识;另一方面,从受灾行业原始数据分析(见表1),受灾主要行业为民用、石化、工业等方面,其中,工业、石化等场所多为一、二类防雷场所,每年需要进行一至二次防雷检测,经过多年监管部门的安全检查和防雷安全工作制度化、防雷技术规范化提升,全社会整体防雷安全有了极大提升。人员伤亡等受灾虽然有一定的降低,但仍然有出现雷击伤亡情况,一是人员受灾主要在户外,不可控因素较

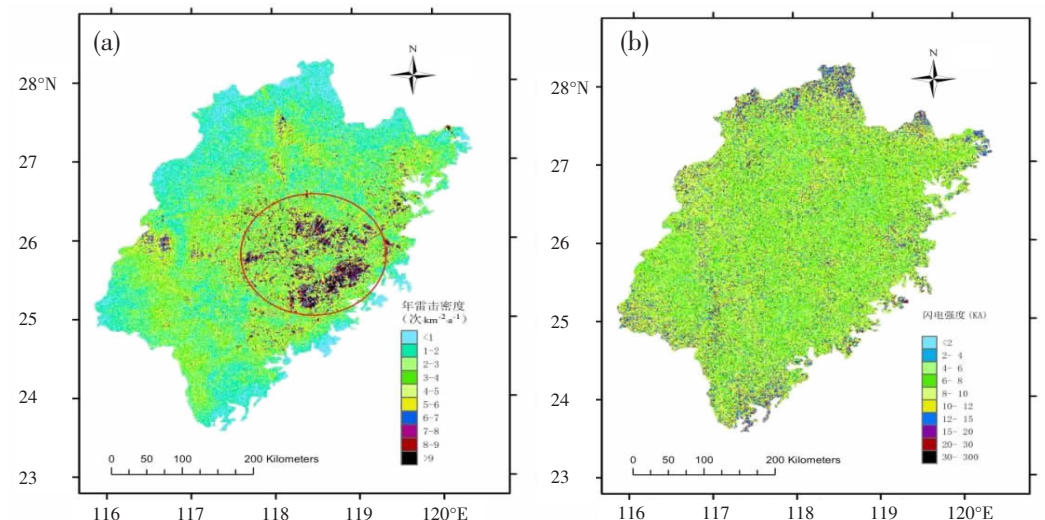


图 4 福建省雷击大地密度(a)和闪电强度(b)分布

域与区域闪电活动高发地在省中东部地区有较好的一致性,但其他区域的一致性关系并不明显。

由表 2 可知,2012—2017 年闪电次数值高达 2719952 次,闪电强度绝大部分集中在 4~15kA,占比高达 96%以上,100kA 以上超大强度闪电仅 133 次,占比不到 0.005%,而同期只有 833 次雷灾。由图 4(b)可以看出,闪电强度区域分布较均衡,这是因为

闪电发生地点具有随机性,故闪电强度分布无明显分布特征,而同期的 833 次雷灾却有区域分布特征。由此,尚无证据表明闪电强度分布和雷灾事故分布具有明显相关性。

由此得知,雷灾分布与闪电密度有关,但尚未发现闪电强度与雷灾事故分布有关。

表 2 闪电强度区间分布表

幅值区间 (kA)	闪电次数	区间占比 (%)	幅值区间 (kA)	闪电次数	区间占比 (%)
0<2	8721	0.321	12~15	262460	9.649
2~4	15307	0.563	15~20	94131	3.461
4~6	316834	11.649	20~30	43384	1.595
6~8	750247	27.583	30~100	12259	0.451
8~10	877417	32.259	100~300	133	0.005
10~12	339060	12.466	合计	2719952	100

2.3 行业分布特征

对将雷灾基础数据分为民用(此处为指民用建筑物、生活设施以及人员伤亡)、石化、通信、电力、工业、交通、办公、水利等 8 个行业进行分类统计。

由表 1 可以看出,除三明石化行业明显不同于其他省市,其他地市雷灾行业受损比率较接近,民用、工业、电力占据主要受损行业。从全省来看,民用、石化、电力、工业、办公为主要雷灾损失行业,合计值为 796 次,占比高达为 96%。从局部来看,三明的石油化工行业,漳州的民用方面,福州、泉州、三明、漳州和厦门的工业场所,遭受雷灾次数比重高于其他地市。

其他地区,这主要与地区性的经济特点、地理位置有关。三明雷灾数据中,石化行业主要表现为加油站。三明地处山区,公路穿山越岭,沿线加油站往往在半山腰,相对于周边环境,加油站为孤立建筑物,容易遭受雷击。漳州雷灾数据中,人员伤亡相对较多,达 21 次,明显高于其他地级市,从雷灾基础数据看,主要为农民在户外务农时,遭受雷击。泉州厦门的港区,处于海陆交界处,同时港区往往范围较大,内部又有龙门吊、码头吊车等高耸钢结构设备,容易遭受雷击;同时泉州各县市工业厂房较多,受损数量高于其他地市。

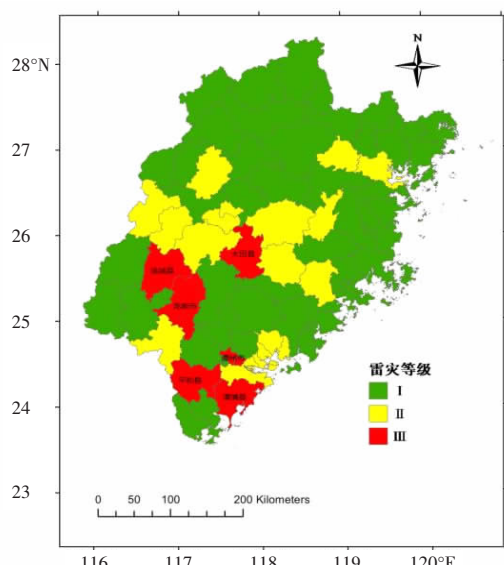


图 6 福建省 68 个县市行政区域雷灾等级分布

4 结论和讨论

(1) 2012—2017 年, 福建省雷灾年分布呈现逐年减少趋势;其中, 2012—2014 年较 2015—2017 年雷灾次数值明显偏高;2017 年雷灾次数为 18 次, 较 2012 年最高值 316 次, 降幅达 94%。闪电次数则处于波动状态, 无明显趋势。雷灾频数较多区域主要集中在闽中部、西部, 闽北和沿海地区较少。全省雷灾受损行业比较集中, 主要在民用、工业等 5 个方面, 占比高达 96%。

(2) 雷灾次数与闪电频数月分布具有较好的一致性, 均主要集中在夏季, 冬春季较少。雷灾次数与雷击大地密度分布具有较好的一致性。雷击大地密度高值区域为福建省中东部, 该区域内雷灾次数相对较多;而闽北地区和北部沿海地带雷击大地密度和雷灾次数均较少。闪电强度分布较为均衡, 尚未发现与雷灾次数分布具有相关性。

(3) 福建省雷灾风险等级评价结果为: 闽北及北部沿海地区等级较低, 闽中和闽西南等级较高。等级较高区域主要表现为人员损失和经济损失明显高于其他地区。风险评价结果与历史雷灾对应较好, 风险评价指标能有效评估该地区雷灾风险, 不同地区可根据雷灾风险评价等级, 制定差异性雷灾防护措施以科学合理降低雷灾风险。

本文雷灾数据仅来源于气象系统收集, 其他雷灾数据收集较少, 且雷灾事故分析较少, 雷灾数据信息缺乏详细定位等信息, 缺乏进一步深入分析雷灾

事故原因的基础。此外, 基于现有研究成果, 将以厦门等地为试点, 对具体雷灾个案开展分析, 进一步优化完善雷灾致灾因子雷灾评价模型。

参考文献:

- [1] 马明, 吕伟涛, 张义军, 等. 我国雷电灾害及相关因素分析[J]. 地球科学进展, 2008, 23(8): 856–865.
- [2] 胡先锋, 刘彦章, 肖稳安, 等. 1998—2004 年中国雷电灾害特征分析[J]. 气象与减灾研究, 2007, 30(3): 56–59.
- [3] 刘俊, 肖稳安, 陈红兵, 等. 全国雷电灾害分析及雷灾经济损失预测[J]. 气象与环境科学, 2010, 33(4): 21–26.
- [4] 曾山泊, 肖稳安, 李霞. 苏州地区雷暴活动规律和雷灾分析[J]. 气象科学, 2006, 26(5): 517–524.
- [5] 陈小艳, 康强, 植耀玲. 1998—2019 年南宁市雷电灾害特征分析[J]. 气象研究与应用, 2020, 41(1): 21–25.
- [6] 李京校, 钱慕晖, 李如箭, 等. 北京市雷击人身伤亡事故特征及防雷装置研究[J]. 中国农学通报, 2016, 32(29): 161–168.
- [7] 梁志文, 刘晓东, 宋昊泽, 等. 2013 年内蒙古地区雷电及其灾害特征分析[J]. 内蒙古气象, 2015(5): 59–61.
- [8] 郭虎, 熊亚军, 付宗钰, 等. 北京市自然雷电与雷电灾害的时空分布[J]. 气象, 2008, 34(1): 12–17, 129.
- [9] 郭虎, 熊亚军, 崔海波. 北京市雷电灾害灾情综合评估模式[J]. 灾害学, 2008, 23(1): 14–17.
- [10] 冯真祯, 曾金全, 张烨方, 等. 福建省地闪时空分布特征分析[J]. 自然灾害学报, 2013, 22(4): 213–221.
- [11] 郭媛, 吴量, 何宽, 等. 基于层次分析法的广西雷灾风险区划[J]. 气象研究与应用, 2018, 39(2): 108–113, 145.
- [12] 李彩莲, 赵西社, 赵东, 等. 陕西省雷电灾害易损性分析、评估及易损度区划[J]. 灾害学, 2008, 23(4): 49–52.
- [13] 尹娜, 肖稳安. 区域雷灾易损性分析、评估及易损度区划[J]. 热带气象学报, 2005, 21(4): 441–449.
- [14] 殷娴, 肖稳安, 冯民学, 等. 区域雷灾分布特征及易损度区划[J]. 气象科技, 2009, 37(2): 216–220.
- [15] 王义耕, 刘洁. 2008 年广西雷电活动和雷电灾害分析[J]. 自然灾害学报, 2011, 20(6): 124–130.
- [16] 黄肖寒, 黄卓帆, 李有为, 等. 河池市雷电时空分布特征及雷击灾害风险区划[J]. 气象研究与应用, 2016, 37(4): 102–105, 133.
- [17] 刘晓东, 尤莉, 宋昊泽, 等. 基于 GIS 和 AHP 的雷电灾害风险区划分析与评估——以内蒙古雷灾为例[J]. 中国农学通报, 2019, 35(20): 75–82.
- [18] 刘平英, 朱勇, 杨宗凯, 等. 基于层次分析模型的云南省雷电致灾评价及易损性区划[J]. 中国农学通报, 2018, 34(22): 125–131.
- [19] 刘垚, 包云轩, 缪启龙, 等. 杭州市雷电灾害风险区划及分析[J]. 西北师范大学学报(自然科学版), 2014, 50

- (3):99–105.
- [20] 李彩莲, 刘宏, 王百朋, 等. 陕西省雷电灾情评估方法的分析研究[J]. 陕西气象, 2010, 35(2):45–48.
- [21] 朱浩, 王凯, 程向阳, 等. 安徽省雷电灾害特征分析及区域灾情评估 [J]. 长江流域资源与环境, 2015, 24(1): 162–168.
- [22] 程向阳, 谢五三, 王凯, 等. 雷电灾害风险区划方法研究及其在安徽省的应用[J]. 气象科学, 2012, 32(1):80–85.
- [23] 刘晓东, 李松如, 冯旭宇, 等. 内蒙古雷灾特征及灾情的灰色关联评估[J]. 安全与环境学报, 2012, 12(5):251–255.
- [24] 曾金全, 朱彪, 曾颖婷, 等. 福建省多回击闪电特征参数的统计分析[J]. 暴雨灾害, 2017, 36(6):573–578.
- [25] 朱彪, 曾金全, 张烨方, 等. 雷电学科发展与福建省雷电灾害防御研究报告[J]. 海峡科学, 2018(10):3–10.
- [26] 张雷, 涂慰云, 李天诚, 等. 基于层次分析法的福建省雷电灾害风险区划[J]. 武夷学院学报, 2017, 36(9):53–59.
- [27] 侯保灯, 赵庆绪, 王焱, 等. 基于集对分析模型的岷江上游流域震后水质综合评价[J]. 水力发电, 2010, 36(1): 29–31, 47.
- [28] 王兆礼, 赖成光, 陈晓宏, 等. 基于熵权的洪灾风险空间模糊综合评价模型[J]. 水力发电学报, 2012, 31(5):35–40.
- [29] 刘媛媛, 王绍强, 王小博, 等. 基于 AHP_熵权法的孟加拉地区洪水灾害风险评估[J]. 地理研究, 2020, 39(8): 1892–1906.
- [30] 程立海, 唐宏, 周廷刚, 等. 自然灾害强度的评估方法及应用——基于综合灾害指数的研究[J]. 自然灾害学报, 2011, 20(1):46–50.
- [31] 张星. 自然灾害灾情的熵权综合评价模型[J]. 自然灾害学报, 2009, 18(6):189–192.
- [32] 邹志红, 孙靖南, 任广平. 模糊评价因子的熵权法赋权及其在水质评价中的应用 [J]. 环境科学学报, 2005, 25(4):552–556.
- [33] 张星. 自然灾害灾情的熵权综合评价模型[J]. 自然灾害学报, 2009, 18(6):189–192.
- [34] 曾金全, 冯真祯, 张烨方, 等. 区域雷电灾害风险评估模型与应用[J]. 气象科技, 2017, 45(1):178–182.
- [35] 严春银, 吴高学, 朱建章. 区域雷灾易损性及其区划的实证分析[J]. 气象与环境学报, 2007, 23(1):17–21.
- [36] 尹娜, 肖稳安. 区域雷灾易损性分析、评估及易损度区划 [J]. 热带气象学报, 2005, 21(4):441–448.

Thunder disaster risk division in Fujian Province based on entropy weight comprehensive evaluation model

Chen Lin¹, Chen Caizhu², Hu Yajun³, Yang Xumin⁴, Zhu Yafei¹

(1. Xiamen Meteorological Disaster Prevention Technology Center, Xiamen Fujian 361012;
2. Xiamen Meteorological Bureau, Xiamen Fujian 361012; 3. Xiamen Meteorological Observatory,
Xiamen Fujian 361012; 4. Xiamen Meteorological Service Center, Xiamen Fujian 361012)

Abstract: The lightning location data and thunderstorm data of Fujian Province from 2012 to 2017 were used to evaluate the regional thunderstorms in 68 counties and cities in Fujian Province by using the entropy weight comprehensive evaluation model. The results showed that the high value areas of lightning density were mainly concentrated in the central and eastern parts of Fujian, and the annual average density of most areas was less than $4 \text{ times} \cdot \text{km}^{-2} \cdot \text{a}^{-1}$, and that of a few areas was more than $8 \text{ times} \cdot \text{km}^{-2} \cdot \text{a}^{-1}$. Lightning occurred mainly in June to August. The regional distribution of lightning intensity was balanced, and most of the intensity values were below 30kA. The thunderstorm frequency in central Fujian was higher than that in other regions, Northern Fujian was the lowest and coastal areas was low. Thunderstorms and lightning were high incidence in summer, and the distribution of lightning density and the number of thunderstorms were consistent. The overall evaluation level of thunder disaster in South Central Fujian was higher than that in North Fujian, and that in inland areas was higher than that in coastal areas.

Key words: lightning; thunderstorm; risk division; entropy weight comprehensive evaluation model